



Foto 1: Granodioritový hřbet (vlevo Malinová hora) v severní části novohrádeckého masívu (pohled od ZJZ) (k článku na str. 3).

Photo 1: Mountain ridge composed of granodiorite (Mt. Malinová hora on the left side) in the northern part of the Nový Hrádek Massif (view from WSW) (see page 3).



Foto 2: Nejvyšší vrch novohrádeckého masívu – Kašparka (639 m), pohled od západu (k článku na str. 3).

Photo 2: Mt. Kašparka (639 m a.s.l.) - the highest peak of the Nový Hrádek Massif, view from the W (see page 3).



Foto 3: Odkryv granodioritové zvětraliny (saprolitu) na j. svahu vrchu Háj mezi Borovou a Novým Hrádkem (k článku na str. 3).

Photo 3: Exposure of the granodiorite regolith on the southern slope of the Hill Háj between the village Borová and a small town Nový Hrádek (see page 3).



Foto 4: Křemenná žíla tvoří strukturální hřeben (zvaný Bílá skála) na sz. svahu Kozího hřbetu (k článku na str. 3). Foto 1–4 J. Vitek.

Photo 4: The structural ridge called Bílá skála on the NW slope of the Ridge Kozí hřbet composed of quartz vein (see page 3). Photos 1–4 by J. Vitek.



Foto 5: Upravený pramen Kněžné (798 m) na západním svahu Pláně (k článku na str. 23).

Photo 5: The regulated well of the Kněžná river (798 m) on the west slope of Pláň mountain (see page 23).



Foto 6: Rozevřené údolí Javornického potoka v letohradské synklinále a Orlické hory ze sv. svahu Jahodové (k článku na str. 23).

Photo 6: The open valley of the Javornický potok brook in the Letohrad syncline and the Orlické hory mountains from the ne. slope of Jahodová hill (see page 23).



Foto 7: Příčný profil asymetrickou sníženinou letohradské synklinály protékanou Javornickým potokem od SZ od Jaroslavi (k článku na str. 23).

Photo 7: A transversal profil through the asymmetrical Letohrad syncline flowed through by the Javornický potok brook from NW from Jaroslav village (see page 23).

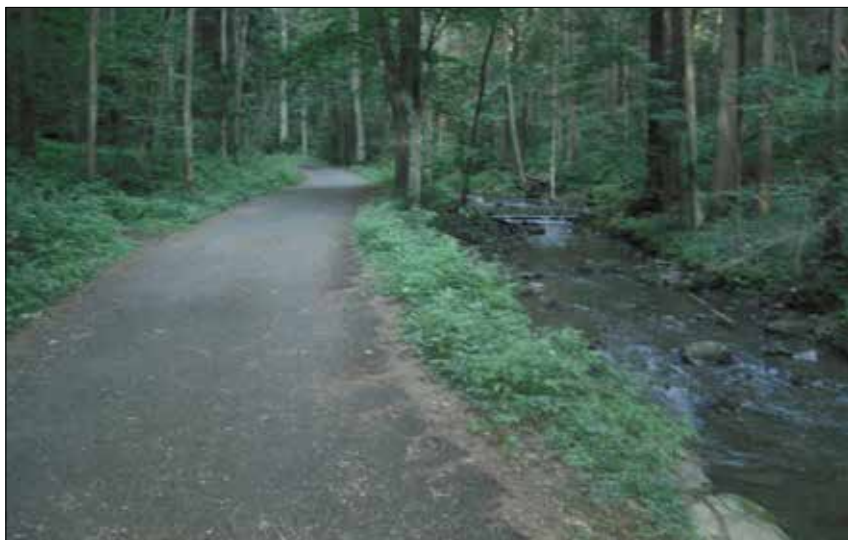


Foto 8: Sevřené průlomové údolí Javornického potoka sz. zakončením hřbetu litické antiklinály v Lese Včelném (k článku na str. 23).

Photo 8: The close antecedent valley of the Javornický potok brook through the nw. periphery of the Litice anticline in the Les Včelný wood (see page 23).



Foto 9: Vodní nádrž Ivanské jezero v průlomovém údolí Javornického potoka v Lese Včelném (k článku na str. 23).

Photo 9: The Ivanské jezero dam in the antecedent valley of the Javornický potok brook in the Les Včelný wood (see page 23).



Foto 10: Výrazný oblý hřbet litické antiklinály, vrcholící Jahodovou (505 m), od severu od Liberka (k článku na str. 23). Foto 5–10 D. Šebesta.

Photo 10: The marked rounded ridge of the Litice anticline, culminating by Jahodová hill (505 m), from north from Liberka village (see page 23). Photos 5–10 by D. Šebesta.



Foto 11: Západní (horní), nejsouvislejší a nejvyšší část 1. skalního defilé v Klášterské Lhotě. Na úpatí osypů (vlevo a zcela vpravo dole) jsou patrné balvany starších skalních zřícení (k článku na str. 47).

Photo 11: Western (uppermost), the most continuous and the highest part of the first river scarp at Klášterská Lhota. The bases of talus cones (bottom left and far right) show the presence of boulders of the older rockfalls (see page 47).



Foto 12: Východní (spodní) část 1. skalního defilé. Zde je již patrné rozčlenění stěny zhruba uprostřed výšky na dva stupně úzkým pruhem osypů podél vrstvy měkkých aleuropelitů (k článku na str. 47).

Photo 12: Eastern (lower) part of the first river scarp. The cliff face is divided into two steps at approximately its mid-height by narrow belt of talus cones along a softer mudstone bed (see page 47).



Foto 13: Západní (horní) část 2. skalního defilé za více než 100 letě povodně na horním Labi 9.3.2000 (s hladinou řeky zvýšenou o zhruba 3 m oproti normálu) s periodickými vodopády ze zářezů č. 10 a 11 (k článku na str. 47).

Photo 13: Western (upstream) part second river scarp during a centennial or higher flood on the upper Labe River basin of March 9, 2000 (water level ca. 3 m above normal), with periodical waterfalls of cuts No. 10 and 11 (see page 47).



Foto 14: Střední část 2. skalního defilé za zimní oblevy. Partie skalních stěn silně zvlhčené vodou tajícího sněhu (tmavěji zbarvené), podléhají při následném zmrznutí silněji kongelifrakci (k článku na str. 47).

Photo 14: Middle part of the second river scarp during of winter thaw. Parts of cliff faces strongly wetted by water from melting snow (darker-coloured) are more susceptible to congelifraction upon subsequent freezing (see page 47).



Foto 15: Celkový pohled na 3. skalní defilé směrem po toku (k článku na str. 47).

Photo 15: A general view of the third river scarp viewed in downstream direction (see page 47).



Foto 16: Třetí skalní defilé, pohled proti toku. Na okraji řečiště je patrná bazální lavice bočního koryta z tvrdého pískovce (k článku na str. 47).

Photo 16: The third river scarp, a view in upstream direction. A basal bed of a lateral river niche of hard sandstone is visible on the edge of the river bed (see page 47).



Foto 17: Silné průsaky podzemních vod (patrné zvláště v zimě podle linie rampouchů) přispívají k intenzivnímu mrazovému zvětrávání úpatní části stěny 3. skalního defilé a vzniku bočního koryta (k článku na str. 47).

Photo 17: Strong ground seepage (visible particularly in winter by the lines of icicles) contributes to intensive frost weathering of the basal part of the face of the third river scarp and the origin of the lateral river niche (see page 47).



Foto 18: Intenzivní zvětrávání aleuropelitů dokumentuje množství kamenitého opadu na ledu při úpatí stěny v předjaří 2012 (3. skalní defilé) (k článku na str. 47). Foto 11–18 V. Pilous.

Photo 18: Intensive weathering of mudstones is documented by the amount of weathering products (mudstone fragment) accumulated at the cliff base (third river scarp, early spring 2012) (see page 47). Photos 11–18 by V. Pilous



Foto 19: Fertilní ostřice plstnatoplodá (*Carex lasiocarpa*), PR U Houkvice (k článku na str. 79). Foto J. Doležal, 31.5.2012.

Photo 19: Fertile *Carex lasiocarpa*, Natural Reserve U Houkvice (see page 47). Photo by J. Doležal, 31.5.2012.



Foto 20: Ďáblík bahenní (*Calla palustris*), PR U Houkvice (k článku na str. 79). Foto R. Prausová, 18.5.2012.

Photo 20: *Calla palustris*, Natural Reserve U Houkvice (see page 79). Photo by R. Prausová, 18.5.2012.



Foto 21: Leknín bělostný (*Nymphaea candida*), rybník Malá Houkvice, PR U Houkvice (k článku na str. 79). Foto A. Burešová, 16.7.2012.

Photo 21: *Nymphaea candida*, Malá Houkvice pond, natural reserve U Houkvice (see page 79). Photo by A. Burešová, 16.7.2012.



Foto 22: Pohled na les s trnkovým lemem (od silnice – Lokot – Rychnov) (k článku na str. 137). Foto J. Málková.

Photo 22: General view of the forests with blackthorn edging (see page 137). Photo by J. Málková.



Foto 23: Červeně se barvící listy jeřábu břeku (*Sorbus torminalis*) jsou na podzim ozdobou teplomilné doubravy v PR Střemošická stráž. Břek zde dosahuje východní hranice svého rozšíření v Čechách (30.9.2012) (k článku na str. 165).

Photo 23: Leaves of wild service tree (*Sorbus torminalis*) turn red in the autumn and decorate the thermophilous oak forest in Střemošická stráž Nature Reserve. Wild service tree reaches the eastern margin of its distribution in Bohemia here (30 September 2012) (see page 165).



Foto 24: Užovka podplamatá (*Natrix tessellata*) v přírodní památce Nemošická stráž u Pardubic 22.4.2013 (k článku na str. 175). Foto L. Říhová.

Photo 24: Dice Snake (*Natrix tessellata*) from Nemošická stráž Nature Monument near Pardubice city on 22.4.2013 (see page 175). Photo by L. Říhová.